

# 一次长三角大气重污染期间浙江典型城市 大气PM<sub>2.5</sub>污染成因分析\*

王琼真<sup>1</sup> 于 燕<sup>2</sup> 孟伟江<sup>3</sup> 蒋琦清<sup>1</sup> 张 天<sup>4</sup> 晁 娜<sup>1</sup> 吴 电<sup>1</sup> 吴 建<sup>1</sup>

(1.浙江省环境保护科学设计研究院,浙江 杭州 310007;2.浙江省气象科学研究所,浙江 杭州 310008;

3.时代盛华科技有限公司,浙江 杭州 311202;4.杭州市环境监测中心站,浙江 杭州 310007)

**摘要** 浙江大气PM<sub>2.5</sub>污染问题突出。利用国家环境空气质量监测站的实时在线监测数据分析了2013年12月上旬长三角地区一次大气PM<sub>2.5</sub>严重污染前后浙江典型城市(杭州、湖州、金华、宁波和舟山)的PM<sub>2.5</sub>污染成因。结果表明,严重污染天(SPD)风速和大气边界层高度均较非污染天低,不利于污染物扩散,而气温和相对湿度高,易于二次颗粒物生成。PM<sub>2.5</sub>/CO(质量比)的变化结果显示,SPD二次颗粒物对杭州、宁波、舟山PM<sub>2.5</sub>浓度的贡献高于60%,对湖州和金华PM<sub>2.5</sub>浓度的贡献略低(42%~54%)。杭州SPD时二次NO<sub>3</sub><sup>-</sup>、SO<sub>4</sub><sup>2-</sup>、NH<sub>4</sub><sup>+</sup>的增长幅度远高于PM<sub>2.5</sub>,且氮转化率和硫转化率随相对湿度的升高而上升,表明硫酸盐和硝酸盐的生成是PM<sub>2.5</sub>污染的重要来源。<sup>14</sup>后向轨迹显示,SPD时杭州和湖州主要受江苏、安徽及浙江省内其他城市<sup>14</sup>传输的影响,宁波和舟山主要受上海、江苏、安徽及东海上空气团传输的影响,而金华主要受本地及邻近的杭州、绍兴的影响。

**关键词** PM<sub>2.5</sub> 二次转化 区域传输

DOI:10.15985/j.cnki.1001-3865.2019.09.014

**The causes of PM<sub>2.5</sub> pollution in typical cities of Zhejiang during a severe pollution event of Yangtze River Delta** WANG Qiongzhen<sup>1</sup>, YU Yan<sup>2</sup>, MENG Weijiang<sup>3</sup>, JIANG Qiqing<sup>1</sup>, ZHANG Tian<sup>4</sup>, CHAO Na<sup>1</sup>, WU Dian<sup>1</sup>, WU Jian<sup>1</sup>. (1. Environmental Science Research & Design Institute of Zhejiang Province, Hangzhou Zhejiang 310007; 2. Zhejiang Institute of Meteorological Sciences, Hangzhou Zhejiang 310008; 3. Times Shenghua Technology Co., Ltd., Hangzhou Zhejiang 311202; 4. Hangzhou Environmental Monitoring Centre Station, Hangzhou Zhejiang 310007)

**Abstract:** Atmospheric PM<sub>2.5</sub> pollution is a serious issue in Zhejiang. In this study, the causes of PM<sub>2.5</sub> pollution in five typical cities including Hangzhou, Huzhou, Jinhua, Ningbo and Zhoushan were comparatively analyzed during a severe PM<sub>2.5</sub> pollution event of Yangtze River Delta in early December, 2013, based on real time on-line observation data from nation-controlled stations. Results showed that wind speed and height of planetary boundary layer decreased in severe pollution days (SPD) in all the five cities, leading to accumulations of atmospheric pollutants, while temperature and relative humidity increased, easy to formaiton of secondary particles. Based on the variation of PM<sub>2.5</sub> / CO (mass ratio), secondary particles were estimated to account for more than 60% of PM<sub>2.5</sub> in Hangzhou, Ningbo and Zhoushan, while only 42%-54% in Huzhou and Jinhua. In Hangzhou, the increase of secondary NO<sub>3</sub><sup>-</sup>, SO<sub>4</sub><sup>2-</sup> and NH<sub>4</sub><sup>+</sup> in SPD was significantly higher than that of PM<sub>2.5</sub>, and nitrogen oxidation ratio and sulfur oxidation ratio increased significantly along with the increase of relative humidity, indicating that the formation of sulfate and nitrate was the crucial source of PM<sub>2.5</sub> pollution. Backward trajectories of air masses in SPD showed that PM<sub>2.5</sub> pollution in Hangzhou and Huzhou was influenced by air masses from Jiangsu, Anhui and other cities in Zhejiang, that PM<sub>2.5</sub> pollution in Ningbo and Zhoushan was influenced by air masses from Shanghai, Jiangsu, Anhui and the East China Sea, and that PM<sub>2.5</sub> pollution in Jinhua was influenced by air masses from native sources and adjacent Hangzhou and Shaoxing.

**Keywords:** PM<sub>2.5</sub>; secondary transformation; regional transport

大气PM<sub>2.5</sub>污染一般受人为污染源排放和气象条件的双重影响<sup>[1-4]</sup>。PM<sub>2.5</sub>污染期间,硫酸盐、硝酸盐等污染物浓度通常是清洁天的数倍甚至几十倍<sup>[5][6][16]</sup>。QUAN等<sup>[7]</sup>研究表明,硫酸盐和硝酸盐的非均相生成是北京冬季PM<sub>2.5</sub>污染的重要原因。

LIN等<sup>[8]</sup>研究发现,2004—2008年上海颗粒物中NH<sub>4</sub><sup>+</sup>浓度明显升高,影响能见度。逆温、静稳、高湿等不利的气象条件常引发高浓度的颗粒物污染<sup>[9-10]</sup>。此外,污染物的中/长距离输送,对区域空气质量也有重要影响<sup>[5][17][11][9-11][12]</sup>。

第一作者:王琼真,女,1984年生,博士,高级工程师,主要从事大气气溶胶化学研究。

\*国家重点研发计划项目(No.2018YFC0213806)。

浙江位于PM<sub>2.5</sub>污染问题较突出的长三角地区。但是有关浙江PM<sub>2.5</sub>污染特征及成因的研究较为有限,现有的研究主要集中在经济发展较好的杭州、宁波等地。王书肖等<sup>[13]~[14]</sup>采用模型模拟和现场观测方法,分析了杭州和宁波的PM<sub>2.5</sub>污染特征及来源。徐昶等<sup>[14]</sup>在世界无车日期间,评估了机动车尾气排放对杭州PM<sub>2.5</sub>污染的影响。然而,浙江地形地貌复杂,经济发展与人为源排放的空间差异显著,不同地区PM<sub>2.5</sub>的污染特征及成因不尽相同。本研究在选取杭州、宁波的基础上,又选择了浙江、江苏、安徽3省交界处的湖州,地处浙中盆地的金华和海岛城市舟山等典型城市开展PM<sub>2.5</sub>污染成因研究。

2013年12月上旬我国长三角地区出现了长时间、大范围的PM<sub>2.5</sub>严重污染<sup>[15]</sup>,期间浙江大部分城市PM<sub>2.5</sub>污染严重。因此,本研究重点分析了此次重污染期间的浙江典型城市PM<sub>2.5</sub>污染成因,以期为浙江制定科学合理的大气污染防治措施提供参考。

## 1 研究方法

大气PM<sub>10</sub>、PM<sub>2.5</sub>、SO<sub>2</sub>、NO<sub>2</sub>、CO等污染物日均浓度数据为来自各地的国家环境空气质量监测站的实时在线监测数据。根据《环境空气质量指数(AQI)技术规定(试行)》(HJ 633—2012),将PM<sub>2.5</sub>日均质量浓度分别为0~35、>35~75、>75~115、>115~150、>150~250、>250~500 μg/m<sup>3</sup>,所对应的污染等级划分为优、良、轻度污染、中度污染、重度污染、严重污染。2013年12月4至8日长三角地区出现了区域PM<sub>2.5</sub>严重污染,本研究分析了2013年11月28日至12月11日期间杭州、湖州、金华、宁波、舟山严重污染天(SPD)的污染特征及影响因素。

为分析PM<sub>2.5</sub>的化学组分变化,特别是水溶性离子NO<sub>3</sub><sup>-</sup>、SO<sub>4</sub><sup>2-</sup>、NH<sub>4</sub><sup>+</sup><sup>[13]~[16]</sup>,本研究以杭州为代表,采用美国URG公司生产的大气气溶胶及气体组分在线监测分析系统(AIM URG-9000D系列)实时在线监测PM<sub>2.5</sub>中NO<sub>3</sub><sup>-</sup>、SO<sub>4</sub><sup>2-</sup>、NH<sub>4</sub><sup>+</sup>、Cl<sup>-</sup>、Na<sup>+</sup>、K<sup>+</sup>、Mg<sup>2+</sup>、Ca<sup>2+</sup>等水溶性离子浓度。

小时气温、相对湿度、风速和风向等气象数据取自各地气象站。大气边界层高度(PBLH)数据由美国海洋与大气局大气资源实验室的模型计算(<https://ready.arl.noaa.gov/READYmet.php>),气象数据集选择GDAS(1 deg, 3 hourly, global)。

采用美国海洋与大气局大气资源实验室的拉格朗日混合单粒子轨道(HYSPLIT)模型计算了12月

4至9日气团的48 h后向轨迹,气象数据集选择GDAS(1 deg, 2006–present, global)。由于研究期间PBLH较低,设置气团的起始高度为150 m。

## 2 结果与讨论

### 2.1 污染物浓度变化

由图1(a)可知,湖州的PM<sub>2.5</sub>污染总体最严重,12月4至8日连续5 d均为SPD,最高PM<sub>2.5</sub>日均质量浓度达448 μg/m<sup>3</sup>,是《环境空气质量标准》(GB 3095—2012)二级标准(75 μg/m<sup>3</sup>)的6.0倍;杭州和金华12月6至8日连续3 d为SPD,最高PM<sub>2.5</sub>日均质量浓度分别达375、473 μg/m<sup>3</sup>,是GB 3095—2012二级标准的5.0、6.3倍;宁波和舟山12月6至7日连续2 d为SPD,最高PM<sub>2.5</sub>日均质量浓度分别为421、292 μg/m<sup>3</sup>,是GB 3095—2012二级标准的5.6、3.9倍。定义优良天为非污染天(NPD),计算了各地SPD的大气污染物平均浓度与NPD的平均浓度的比值(SPD/NPD)。SPD/NPD从大到小依次为舟山(9.2)、杭州(8.8)、湖州(7.4)、宁波(7.1)、金华(6.3),说明SPD舟山PM<sub>2.5</sub>的增长幅度最大,金华最低。

与PM<sub>2.5</sub>浓度的变化趋势一致,SPD各地的PM<sub>10</sub>浓度显著升高(见图1(b)),但PM<sub>10</sub>的SPD/NPD低于PM<sub>2.5</sub>,表明SPD PM<sub>2.5</sub>的增长幅度高于PM<sub>10</sub>,说明严重污染期间二次颗粒物的贡献增加。

CO主要来自一次燃烧源排放,在大气中较为稳定,不易发生化学转化,因此CO浓度反映了人为排放对此次PM<sub>2.5</sub>污染过程的影响。如图1(c)所示,严重污染期间各地CO浓度急剧上升,杭州、湖州、金华、宁波、舟山SPD的CO日均质量浓度分别达到了2.1~2.4、2.1~3.1、1.9~2.8、2.0~2.7、2.3 mg/m<sup>3</sup>,说明一次燃烧源排放对各地的大气污染均有显著贡献。CO的SPD/NPD大小为湖州(3.6)>金华(3.2)>舟山(3.1)>杭州(2.8)>宁波(2.3),说明一次污染物累积对湖州、金华、舟山的影响相对较大。

SPD各城市NO<sub>2</sub>浓度明显升高,为NPD的1.7~2.6倍(见图1(d))。NO<sub>x</sub>是硝酸盐颗粒的前体物,高浓度NO<sub>2</sub>可导致硝酸盐的大量生成<sup>[16]</sup>。杭州SPD的NO<sub>2</sub>浓度及SPD/NPD均最高,主要原因是本地NO<sub>x</sub>的排放量较大。舟山SPD的NO<sub>2</sub>的浓度水平最低,因为其本地NO<sub>x</sub>排放较低,但NO<sub>2</sub>的SPD/NPD仅次于杭州,说明外来污染物输送对舟

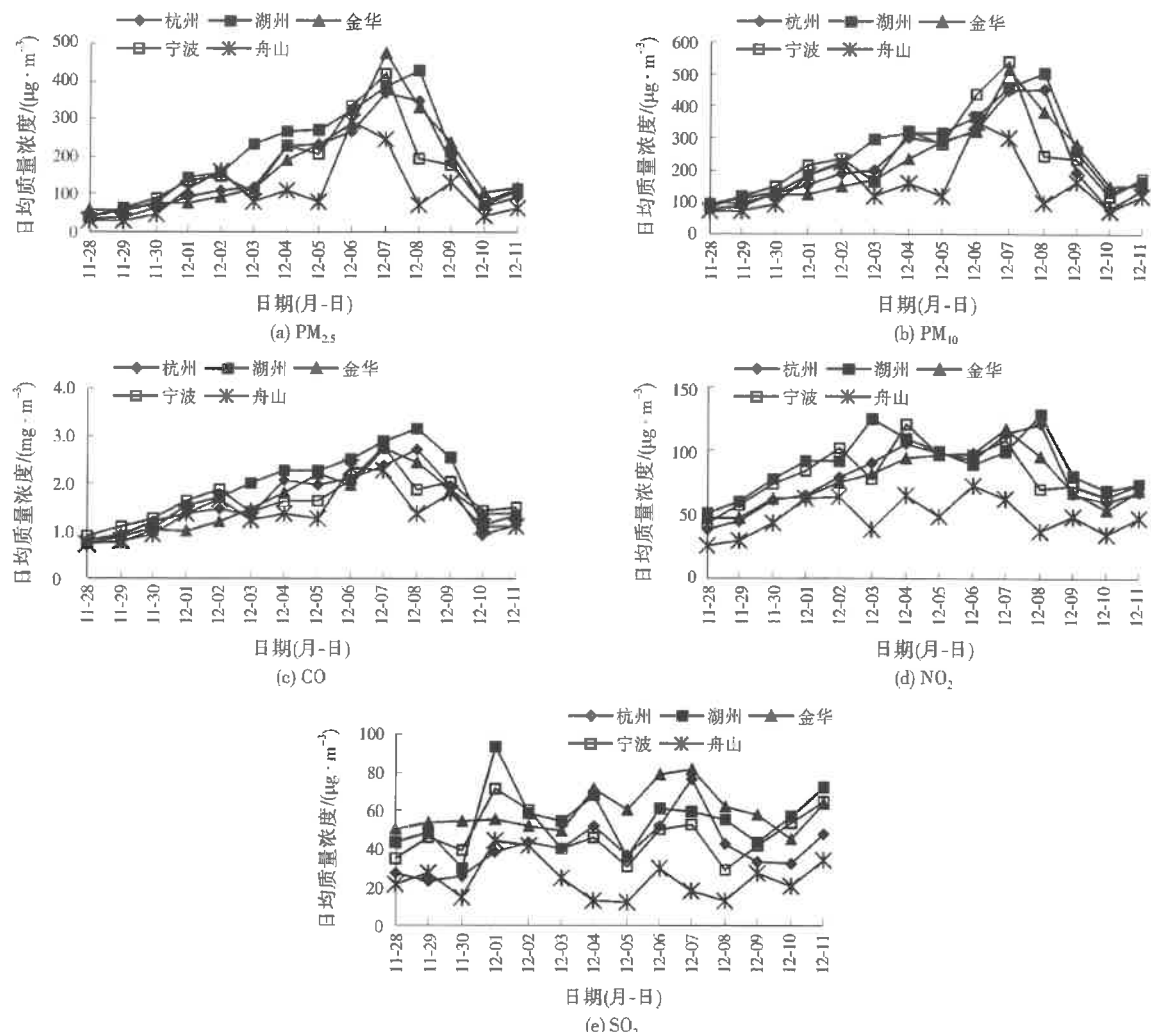


图1 各城市大气污染物日均质量浓度变化  
Fig.1 Daily concentrations variation of atmospheric pollutants in five cities

山SPD有很大贡献。湖州和金华的NO<sub>x</sub>本地排放量低于宁波,但SPD期间NO<sub>x</sub>的浓度及SPD/NPD与宁波相当,主要原因是湖州和金华的大气扩散条件较差。

杭州、湖州、金华、宁波SPD的SO<sub>2</sub>浓度并不高(见图1(e)),其SPD/NPD低于CO和NO<sub>x</sub>。SO<sub>2</sub>主要来自燃煤排放,CO和NO<sub>x</sub>的主要来源除燃煤外还包括机动车尾气排放,可推测各城市机动车尾气排放对PM<sub>2.5</sub>污染有很大贡献。

## 2.2 气象条件对PM<sub>2.5</sub>污染的影响

大气颗粒物的生消过程受PBLH<sup>[17-19]</sup>、相对湿度<sup>[11-16, [20]</sup>、气温以及风向、风速<sup>[21-23]</sup>等气象条件影响。

如图2(a)所示,杭州在12月2日前风向变化较为频繁,在污染最重的12月7至8日风向以偏南风为主,日均风速为1.3 m/s,污染物易累积,致使PM<sub>2.5</sub>浓度升高;12月9日开始受强劲西北风影响,

杭州PM<sub>2.5</sub>浓度迅速下降。湖州的风向变化与杭州相似,12月4至6日的主导风向分别为偏北风、偏南风、偏北风,日均风速分别为2.1、1.1、2.7 m/s,因此北方的污染物传输对其影响较大;12月7至8日为偏南风,日均风速分别为1.4、1.6 m/s,污染物浓度持续上升。金华风速小但风向变化复杂,12月2至6日的日均风速不超过1.0 m/s;在污染最严重的12月7至8日以偏东风为主,日均风速分别为1.3、0.7 m/s,大气扩散条件较差。研究期间,宁波以西北风为主,风速较小,11月30日至12月8日的日均风速为0.3~1.2 m/s,特别是12月7日基本处于静风状态。舟山也以西北风为主,但风速明显大于宁波,在污染最重的12月6至7日,日均风速分别为1.5、1.0 m/s,与其他4个城市不同,舟山的重污染过程持续时间较短。总体而言,SPD的风速小于NPD,导致污染物在局地积累。

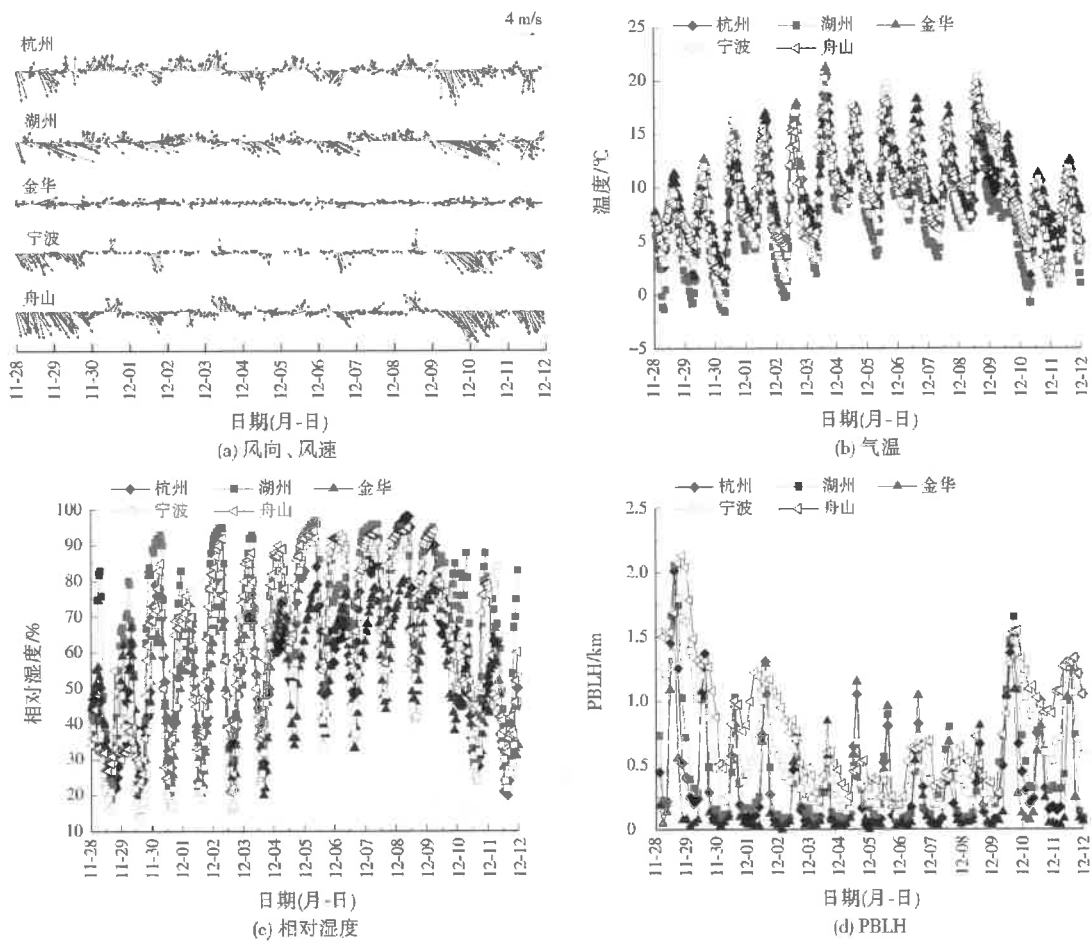


图2 各城市气象条件变化  
Fig.2 Meteorological conditions variation in five cities

由图2(b)和图2(c)可见,严重污染期间,各城市的日均气温和日均相对湿度均有升高,杭州、湖州、金华、宁波、舟山SPD的日均气温分别为9.6~10.9、7.5~10.9、11.2~12.9、9.8~10.8、10.4~11.6℃,日均相对湿度分别为66%~86%、74%~87%、58%~66%、71%~79%、80%~83%。可见,各地SPD均体现出暖湿特征。

分析图2(d)可知,PM<sub>2.5</sub>浓度越高,PBLH越低。

### 2.3 二次颗粒物对PM<sub>2.5</sub>污染的贡献分析

#### 2.3.1 PM<sub>2.5</sub>/CO(质量比)分析

CO主要来自一次燃煤排放,而PM<sub>2.5</sub>来源既包括一次燃煤排放又包括二次转化。假定研究期间各城市一次排放的PM<sub>2.5</sub>和CO浓度不变,则PM<sub>2.5</sub>/CO可用于指示一次排放与二次转化对PM<sub>2.5</sub>贡献的大小。由图3可见,各城市SPD的PM<sub>2.5</sub>/CO明显显著高于NPD,说明严重污染期间二次颗粒物对PM<sub>2.5</sub>的贡献率升高,二次转化是PM<sub>2.5</sub>污染的重要来源。

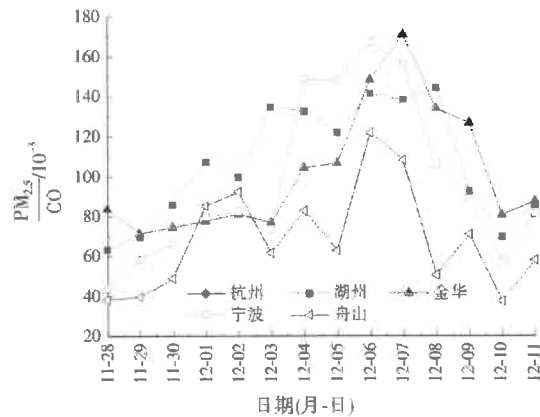


图3 各城市大气PM<sub>2.5</sub>/CO的变化  
Fig.3 Atmospheric PM<sub>2.5</sub>/CO variation in five cities

以NPD的PM<sub>2.5</sub>/CO平均值作为一次排放的PM<sub>2.5</sub>/CO,估算SPD时二次PM<sub>2.5</sub>的浓度。结果显示,杭州、湖州、金华、宁波、舟山SPD时二次PM<sub>2.5</sub>占总PM<sub>2.5</sub>分别为65%~71%、45%~54%、42%~54%、67%~70%、64%~68%,杭州、宁波、舟山SPD时有60%以上的PM<sub>2.5</sub>来自二次转化。需要说

明的是,NPD时实际上PM<sub>2.5</sub>也有很大比例来自二次转化,因此实际大气PM<sub>2.5</sub>中二次颗粒物的占比只会更高。

### 2.3.2 PM<sub>2.5</sub>的化学组分分析

由图4可见,杭州SPD时PM<sub>2.5</sub>中二次组分NO<sub>3</sub><sup>-</sup>、SO<sub>4</sub><sup>2-</sup>、NH<sub>4</sub><sup>+</sup>急剧上升,12月1至3日PM<sub>2.5</sub>日均浓度比NPD时的PM<sub>2.5</sub>平均日均浓度高2.6~3.4倍,而SPD时比NPD时高7.3~9.7倍,相应地,NO<sub>3</sub><sup>-</sup>、SO<sub>4</sub><sup>2-</sup>、NH<sub>4</sub><sup>+</sup>分别从12月1至3日的高出2.4~3.4、3.0~3.8、2.8~3.7倍上升至11.6~11.9、13.6~17.8、12.2~14.5倍。二次组分NO<sub>3</sub><sup>-</sup>、SO<sub>4</sub><sup>2-</sup>、NH<sub>4</sub><sup>+</sup>浓度之和(SNA)在PM<sub>2.5</sub>中的占比显著上升,12月7至8日SNA占PM<sub>2.5</sub>的质量分数均高于40%,表明二次颗粒物的生成是杭州PM<sub>2.5</sub>污染的重要来源,需要加强其前体物的排放控制。相对而言,主要来自一次排放的Na<sup>+</sup>、K<sup>+</sup>、Ca<sup>2+</sup>和Mg<sup>2+</sup>的增长幅度均低于PM<sub>2.5</sub>,表明一次排放对此次污染的贡献相对较小。

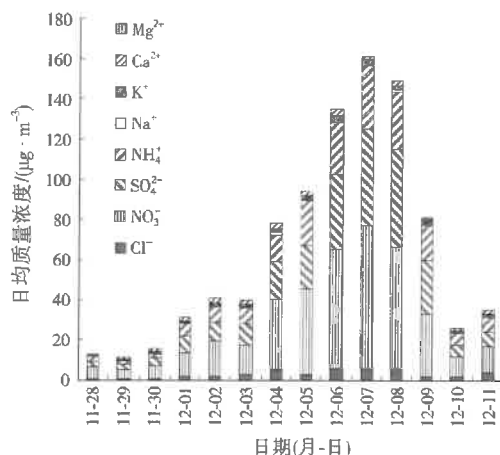


图4 杭州PM<sub>2.5</sub>中水溶性离子化学组成  
Fig.4 Chemical components of water-soluble ions in PM<sub>2.5</sub> of Hangzhou

图5给出了杭州PM<sub>2.5</sub>中NH<sub>4</sub><sup>+</sup>的当量浓度(记为[NH<sub>4</sub><sup>+</sup>])、SO<sub>4</sub><sup>2-</sup>和NO<sub>3</sub><sup>-</sup>的当量浓度之和(记为[SO<sub>4</sub><sup>2-</sup>+NO<sub>3</sub><sup>-</sup>])与相对湿度的关系。由图5可知,相对湿度大于60%条件下的[NH<sub>4</sub><sup>+</sup>]和[SO<sub>4</sub><sup>2-</sup>+NO<sub>3</sub><sup>-</sup>]明显高于相对湿度小于50%条件下的[NH<sub>4</sub><sup>+</sup>]和[SO<sub>4</sub><sup>2-</sup>+NO<sub>3</sub><sup>-</sup>],可见相对湿度是影响杭州硫酸盐、硝酸盐颗粒生成的重要因素。

气态NO<sub>2</sub>和SO<sub>2</sub>向颗粒态NO<sub>3</sub><sup>-</sup>和SO<sub>4</sub><sup>2-</sup>的转化效率可分别用氮转化率(NOR)和硫转化率(SOR)来表征<sup>[5]7</sup>。杭州NOR和SOR与相对湿度的关系如图6所示,NOR和SOR均随相对湿度升高而上

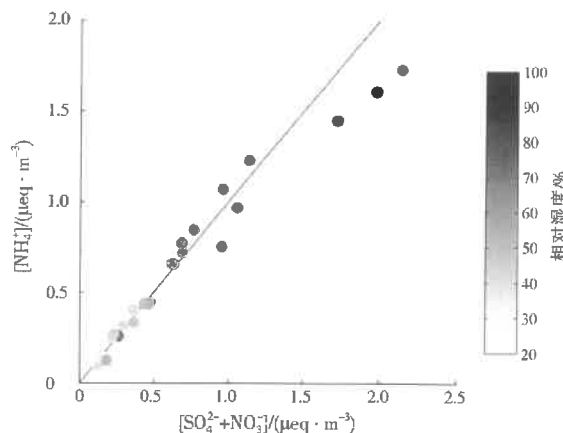


图5 杭州PM<sub>2.5</sub>中[NH<sub>4</sub><sup>+</sup>]和[SO<sub>4</sub><sup>2-</sup>+NO<sub>3</sub><sup>-</sup>]与相对湿度的关系

Fig.5 Relationship of [NH<sub>4</sub><sup>+</sup>] and [SO<sub>4</sub><sup>2-</sup>+NO<sub>3</sub><sup>-</sup>] with relative humidity in PM<sub>2.5</sub> of Hangzhou

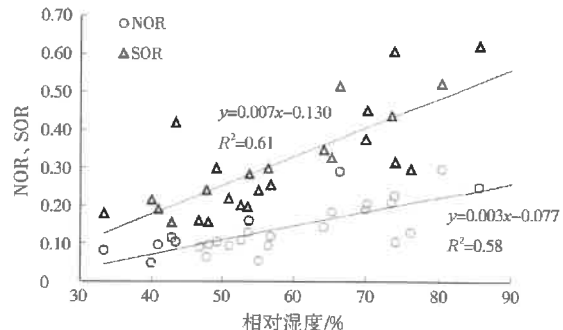


图6 杭州SOR和NOR与相对湿度的关系  
Fig.6 Relationship of NOR and SOR with relative humidity of Hangzhou

升,SOR的增长更加明显,说明在相对湿度较高的条件下,气态SO<sub>2</sub>向颗粒态SO<sub>4</sub><sup>2-</sup>的转化效率更高。严重污染期间杭州相对湿度较高而风速较低,NOR和SOR较高,可导致二次颗粒物浓度急剧上升。

### 2.4 区域传输的影响

杭州和湖州的后向轨迹分布在长三角地区,主要受江苏、安徽以及浙江省内其他城市的影响,其中6至7日主要受偏北方向气团的影响,而8日主要偏南方向气团的影响,南北气团交汇导致外来输送及本地污染物叠加,PM<sub>2.5</sub>污染程度急剧上升。金华的后向轨迹分布在杭州、绍兴、湖州以及江苏西南部和安徽东南部,金华的后向轨迹较短,主要受本地及邻近的杭州、绍兴的影响。宁波和舟山的后向轨迹较为相似,4至5日主要受东海海洋气团影响;而6至7日SPD受到上海、江苏、安徽及东海上空气团传输的影响,期间宁波的风速低于舟山、气团轨迹更短,因此PM<sub>2.5</sub>污染受本地排放的影响相对更大;8日宁波和舟山均受东海海洋气团的影响,污染物浓度开始下降。

### 3 结 论

2013年12月4至8日长三角地区出现一次大范围的PM<sub>2.5</sub>严重污染。浙江典型城市杭州、湖州、金华、宁波、舟山SPD的风速和PBLH明显低于NPD,而气温和相对湿度则相反,SPD呈暖湿特征,有利于二次颗粒物的生成和增长。各城市的PM<sub>2.5</sub>/CO与PM<sub>2.5</sub>变化规律一致,说明二次颗粒物对PM<sub>2.5</sub>的贡献显著。SPD时杭州NO<sub>3</sub><sup>-</sup>、SO<sub>4</sub><sup>2-</sup>、NH<sub>4</sub><sup>+</sup>的增长幅度显著高于PM<sub>2.5</sub>,且NOR和SOR随相对湿度升高而上升,表明硫酸盐和硝酸盐颗粒的生成是PM<sub>2.5</sub>污染的重要来源。改善PM<sub>2.5</sub>污染需要加强颗粒物前体物的排放控制。气团后向轨迹研究结果显示,SPD时杭州和湖州主要受江苏、安徽及浙江省内其他城市气团传输的影响,宁波和舟山主要受上海、江苏、安徽及东海上空气团传输的影响,而地处浙中盆地的金华主要受本地及邻近的杭州、绍兴的影响。

### 参考文献:

- [1] HUANG K,ZHUANG G S,LIN Y F,et al.Typical types and formation mechanisms of haze in an Eastern Asia megacity, Shanghai[J]. Atmospheric Chemistry and Physics, 2012, 12 (1):105-124.
- [2] LI W J,SHAO L Y,BUSECK P R.Haze types in Beijing and the influence of agricultural biomass burning[J]. Atmospheric Chemistry and Physics, 2010,10(17):8119-8130.
- [3] SUN Y L,WANG Z F,DONG H B,et al.Characterization of summer organic and inorganic aerosols in Beijing, China with an Aerosol Chemical Speciation Monitor[J].Atmospheric Environment,2012,51:250-259.
- [4] SUN Y L,WANG Z F,FU P Q,et al.Aerosol composition, sources and processes during wintertime in Beijing, China[J]. Atmospheric Chemistry and Physics, 2013,13(9):4577-4592.
- [5] SUN Y L,JIANG Q,WANG Z F,et al.Investigation of the sources and evolution processes of severe haze pollution in Beijing in January 2013[J].Journal of Geophysical Research: Atmospheres,2014,119(7).
- [6] KANG H Q,ZHU B,SU J F,et al.Analysis of a long-lasting haze episode in Nanjing, China [J]. Atmospheric Research, 2013,120:78-87.
- [7] QUAN J N,TIE X X,ZHANG Q, et al.Characteristics of heavy aerosol pollution during the 2012-2013 winter in Beijing, China[J].Atmospheric Environment,2014,88:83-89.
- [8] LIN Y F,HUANG K,ZHUANG G S,et al.A multi-year evolution of aerosol chemistry impacting visibility and haze formation over an Eastern Asia megacity,Shanghai[J].Atmospheric Environment,2014,92:76-86.
- [9] 童尧青,银燕,钱凌,等.南京地区霾天气特征分析[J].中国环境科学,2007,27(5):584-588.
- [10] 陶俊,柴发合,高健.16届亚运会期间广州城区PM<sub>2.5</sub>化学组分特征及其对霾天气的影响[J].环境科学,2013,34(2):409-415.
- [11] WANG Q Z,ZHUANG G S,HUANG K, et al.Probing the severe haze pollution in three typical regions of China: characteristics,sources and regional impacts[J].Atmospheric Environment,2015,120.
- [12] WANG Z F,LI J,WANG Z,et al.Modeling study of regional severe hazes over mid-eastern China in January 2013 and its implications on pollution prevention and control[J].Science China Earth Sciences,2014,57(1):3-13.
- [13] 王书肖,程真,赵斌,等.长三角区域霾污染特征、来源及调控策略[M].北京:科学出版社,2016.
- [14] 徐昶,沈建东,何曦,等.杭州无车日大气细颗粒物化学组成形成机制及光学特性[J].中国环境科学,2013,33(3):392-401.
- [15] 李莉,蔡盈琳,周敏.2013年12月中国中东部地区严重灰霾期间上海市颗粒物的输送途径及潜在源区贡献分析[J].环境科学,2015,36(7):2327-2336.
- [16] CHENG Y F,ZHENG G J,WEI C,et al.Reactive nitrogen chemistry in aerosol water as a source of sulfate during haze events in China[J].Science Advances,2016,2(12):e1601530.
- [17] PENG Z R,WANG D S,WANG Z Y,et al.A study of vertical distribution patterns of PM<sub>2.5</sub> concentrations based on ambient monitoring with unmanned aerial vehicles:a case in Hangzhou,China[J].Atmospheric Environment, 2015, 123: 357-369.
- [18] LIU X G,LI J,QU Y,et al.Formation and evolution mechanism of regional haze:a case study in the megacity Beijing, China[J].Atmospheric Chemistry and Physics,2013,13(9):4501-4514.
- [19] WANG M Y,CAO C X,LI G H,et al.Analysis of a severe prolonged regional haze episode in the Yangtze River Delta, China[J].Atmospheric Environment,2015,102:112-121.
- [20] SUN Y L,WANG Z F,FU P Q,et al.The impact of relative humidity on aerosol composition and evolution processes during wintertime in Beijing, China [J]. Atmospheric Environment,2013,77:927-934.
- [21] ZHANG R H,LI Q,ZHANG R N.Meteorological conditions for the persistent severe fog and haze event over eastern China in January 2013[J].Science China Earth Sciences,2014,57 (1):26-35.
- [22] ZHANG Q,QUAN J N,TIE X X, et al.Effects of meteorology and secondary particle formation on visibility during heavy haze events in Beijing, China[J].Science of the Total Environment,2014,502:578-584.
- [23] ZHANG H L,WANG Y G,HU J L,et al.Relationships between meteorological parameters and criteria air pollutants in three megacities in China[J].Environmental Research,2015, 140:242-254.

编辑:陈锡超 (收稿日期:2018-09-14)